

Starkniederschlagshöhen und -spenden gemäß KOSTRA-DWD-2020

Rasterfeld 185200

(Zeile 185, Spalte 200)

Regenspende und Bemessungsniederschlagswerte in Abhängigkeit von Wiederkehrzeit T und Dauerstufe D

| Dauerstufe D | | Wiederkehrzeit T | | | | | | | | | | | | | | | | | |
|--------------|-----|------------------|------------|-------|------------|-------|------------|-------|------------|-------|------------|-------|------------|-------|------------|-------|------------|-------|------------|
| | | 1 a | | 2 a | | 3 a | | 5 a | | 10 a | | 20 a | | 30 a | | 50 a | | 100 a | |
| min | Std | mm | l / (s ha) | mm | l / (s ha) | mm | l / (s ha) | mm | l / (s ha) | mm | l / (s ha) | mm | l / (s ha) | mm | l / (s ha) | mm | l / (s ha) | mm | l / (s ha) |
| 5 | | 7,5 | 250,0 | 9,1 | 303,3 | 10,2 | 340,0 | 11,6 | 386,7 | 13,6 | 453,3 | 15,6 | 520,0 | 16,9 | 563,3 | 18,7 | 623,3 | 21,2 | 706,7 |
| 10 | | 9,8 | 163,3 | 12,0 | 200,0 | 13,3 | 221,7 | 15,1 | 251,7 | 17,7 | 295,0 | 20,4 | 340,0 | 22,2 | 370,0 | 24,5 | 408,3 | 27,8 | 463,3 |
| 15 | | 11,3 | 125,6 | 13,8 | 153,3 | 15,4 | 171,1 | 17,5 | 194,4 | 20,5 | 227,8 | 23,6 | 262,2 | 25,6 | 284,4 | 28,3 | 314,4 | 32,1 | 356,7 |
| 20 | | 12,4 | 103,3 | 15,2 | 126,7 | 17,0 | 141,7 | 19,3 | 160,8 | 22,6 | 188,3 | 26,0 | 216,7 | 28,2 | 235,0 | 31,1 | 259,2 | 35,3 | 294,2 |
| 30 | | 14,2 | 78,9 | 17,4 | 96,7 | 19,4 | 107,8 | 22,0 | 122,2 | 25,8 | 143,3 | 29,7 | 165,0 | 32,2 | 178,9 | 35,6 | 197,8 | 40,4 | 224,4 |
| 45 | | 16,1 | 59,6 | 19,8 | 73,3 | 22,1 | 81,9 | 25,1 | 93,0 | 29,4 | 108,9 | 33,8 | 125,2 | 36,7 | 135,9 | 40,5 | 150,0 | 45,9 | 170,0 |
| 60 | 1 | 17,7 | 49,2 | 21,7 | 60,3 | 24,2 | 67,2 | 27,4 | 76,1 | 32,1 | 89,2 | 37,0 | 102,8 | 40,1 | 111,4 | 44,3 | 123,1 | 50,3 | 139,7 |
| 90 | 1,5 | 20,0 | 37,0 | 24,6 | 45,6 | 27,4 | 50,7 | 31,1 | 57,6 | 36,4 | 67,4 | 41,9 | 77,6 | 45,5 | 84,3 | 50,2 | 93,0 | 57,0 | 105,6 |
| 120 | 2 | 21,9 | 30,4 | 26,8 | 37,2 | 29,9 | 41,5 | 34,0 | 47,2 | 39,8 | 55,3 | 45,8 | 63,6 | 49,7 | 69,0 | 54,9 | 76,3 | 62,3 | 86,5 |
| 180 | 3 | 24,8 | 23,0 | 30,4 | 28,1 | 33,9 | 31,4 | 38,4 | 35,6 | 45,0 | 41,7 | 51,8 | 48,0 | 56,3 | 52,1 | 62,1 | 57,5 | 70,5 | 65,3 |
| 240 | 4 | 27,0 | 18,8 | 33,2 | 23,1 | 37,0 | 25,7 | 41,9 | 29,1 | 49,1 | 34,1 | 56,6 | 39,3 | 61,4 | 42,6 | 67,8 | 47,1 | 76,9 | 53,4 |
| 360 | 6 | 30,5 | 14,1 | 37,5 | 17,4 | 41,8 | 19,4 | 47,4 | 21,9 | 55,6 | 25,7 | 63,9 | 29,6 | 69,4 | 32,1 | 76,6 | 35,5 | 87,0 | 40,3 |
| 540 | 9 | 34,5 | 10,6 | 42,4 | 13,1 | 47,2 | 14,6 | 53,6 | 16,5 | 62,8 | 19,4 | 72,3 | 22,3 | 78,5 | 24,2 | 86,6 | 26,7 | 98,3 | 30,3 |
| 720 | 12 | 37,6 | 8,7 | 46,2 | 10,7 | 51,5 | 11,9 | 58,5 | 13,5 | 68,5 | 15,9 | 78,8 | 18,2 | 85,6 | 19,8 | 94,5 | 21,9 | 107,2 | 24,8 |
| 1080 | 18 | 42,5 | 6,6 | 52,2 | 8,1 | 58,2 | 9,0 | 66,1 | 10,2 | 77,4 | 11,9 | 89,1 | 13,8 | 96,7 | 14,9 | 106,7 | 16,5 | 121,1 | 18,7 |
| 1440 | 24 | 46,4 | 5,4 | 56,9 | 6,6 | 63,5 | 7,3 | 72,0 | 8,3 | 84,4 | 9,8 | 97,1 | 11,2 | 105,5 | 12,2 | 116,4 | 13,5 | 132,1 | 15,3 |
| 2880 | 48 | 57,1 | 3,3 | 70,1 | 4,1 | 78,2 | 4,5 | 88,7 | 5,1 | 103,9 | 6,0 | 119,6 | 6,9 | 129,9 | 7,5 | 143,4 | 8,3 | 162,7 | 9,4 |
| 4320 | 72 | 64,5 | 2,5 | 79,2 | 3,1 | 88,3 | 3,4 | 100,2 | 3,9 | 117,4 | 4,5 | 135,1 | 5,2 | 146,8 | 5,7 | 162,0 | 6,3 | 183,8 | 7,1 |
| 5760 | 96 | 70,4 | 2,0 | 86,4 | 2,5 | 96,3 | 2,8 | 109,3 | 3,2 | 128,0 | 3,7 | 147,4 | 4,3 | 160,0 | 4,6 | 176,6 | 5,1 | 200,4 | 5,8 |
| 7200 | 120 | 75,2 | 1,7 | 92,4 | 2,1 | 102,9 | 2,4 | 116,9 | 2,7 | 136,9 | 3,2 | 157,6 | 3,6 | 171,1 | 4,0 | 188,8 | 4,4 | 214,2 | 5,0 |
| 8640 | 144 | 79,5 | 1,5 | 97,6 | 1,9 | 108,7 | 2,1 | 123,4 | 2,4 | 144,6 | 2,8 | 166,4 | 3,2 | 180,7 | 3,5 | 199,5 | 3,8 | 226,3 | 4,4 |
| 10080 | 168 | 83,3 | 1,4 | 102,2 | 1,7 | 113,9 | 1,9 | 129,3 | 2,1 | 151,5 | 2,5 | 174,3 | 2,9 | 189,3 | 3,1 | 208,9 | 3,5 | 237,0 | 3,9 |

Starkniederschlagshöhen und -spenden gemäß KOSTRA-DWD-2020

Rasterfeld 185200

(Zeile 185, Spalte 200)

Örtliche Unsicherheiten in Abhängigkeit von Wiederkehrzeit T und Dauerstufe D

| Dauerstufe D | | Wiederkehrzeit T | | | | | | | | |
|--------------|-----|------------------|-----|-----|-----|------|------|------|------|-------|
| | | 1 a | 2 a | 3 a | 5 a | 10 a | 20 a | 30 a | 50 a | 100 a |
| min | Std | ± % | ± % | ± % | ± % | ± % | ± % | ± % | ± % | ± % |
| 5 | | 17 | 18 | 19 | 19 | 20 | 21 | 21 | 22 | 22 |
| 10 | | 20 | 21 | 22 | 23 | 24 | 24 | 25 | 25 | 26 |
| 15 | | 21 | 23 | 23 | 24 | 25 | 26 | 27 | 27 | 28 |
| 20 | | 22 | 23 | 24 | 25 | 26 | 27 | 27 | 28 | 28 |
| 30 | | 22 | 24 | 25 | 25 | 26 | 27 | 28 | 28 | 29 |
| 45 | | 22 | 23 | 24 | 25 | 26 | 27 | 27 | 28 | 28 |
| 60 | 1 | 21 | 23 | 24 | 24 | 26 | 26 | 27 | 27 | 28 |
| 90 | 1,5 | 20 | 22 | 22 | 23 | 24 | 25 | 26 | 26 | 27 |
| 120 | 2 | 19 | 21 | 22 | 22 | 23 | 24 | 25 | 25 | 26 |
| 180 | 3 | 18 | 19 | 20 | 21 | 22 | 23 | 23 | 24 | 24 |
| 240 | 4 | 17 | 18 | 19 | 20 | 21 | 22 | 22 | 23 | 23 |
| 360 | 6 | 16 | 17 | 18 | 19 | 20 | 21 | 21 | 21 | 22 |
| 540 | 9 | 15 | 17 | 17 | 18 | 19 | 19 | 20 | 20 | 21 |
| 720 | 12 | 15 | 16 | 17 | 17 | 18 | 19 | 19 | 20 | 20 |
| 1080 | 18 | 16 | 16 | 17 | 17 | 18 | 18 | 19 | 19 | 19 |
| 1440 | 24 | 16 | 17 | 17 | 17 | 18 | 18 | 19 | 19 | 19 |
| 2880 | 48 | 19 | 18 | 19 | 19 | 19 | 19 | 19 | 20 | 20 |
| 4320 | 72 | 21 | 20 | 20 | 20 | 20 | 20 | 20 | 21 | 21 |
| 5760 | 96 | 22 | 21 | 21 | 21 | 21 | 21 | 21 | 21 | 22 |
| 7200 | 120 | 23 | 23 | 22 | 22 | 22 | 22 | 22 | 22 | 22 |
| 8640 | 144 | 24 | 23 | 23 | 23 | 23 | 23 | 23 | 23 | 23 |
| 10080 | 168 | 25 | 24 | 24 | 24 | 24 | 24 | 24 | 24 | 24 |

Parameter für abweichende T und D

Lokationsparameter ξ (Xi)

17,87492154

Skalenparameter α (Alpha)

5,64683613

Formparameter κ (Kappa)

-0,1

1. Koutsoyiannis-Parameter θ (Theta)

0,01667857

2. Koutsoyiannis-Parameter η (Eta)

0,69959477

Parameter für dauerstufenübergreifende Extremwertschätzung nach KOUTSOYIANNIS et al. 1998.

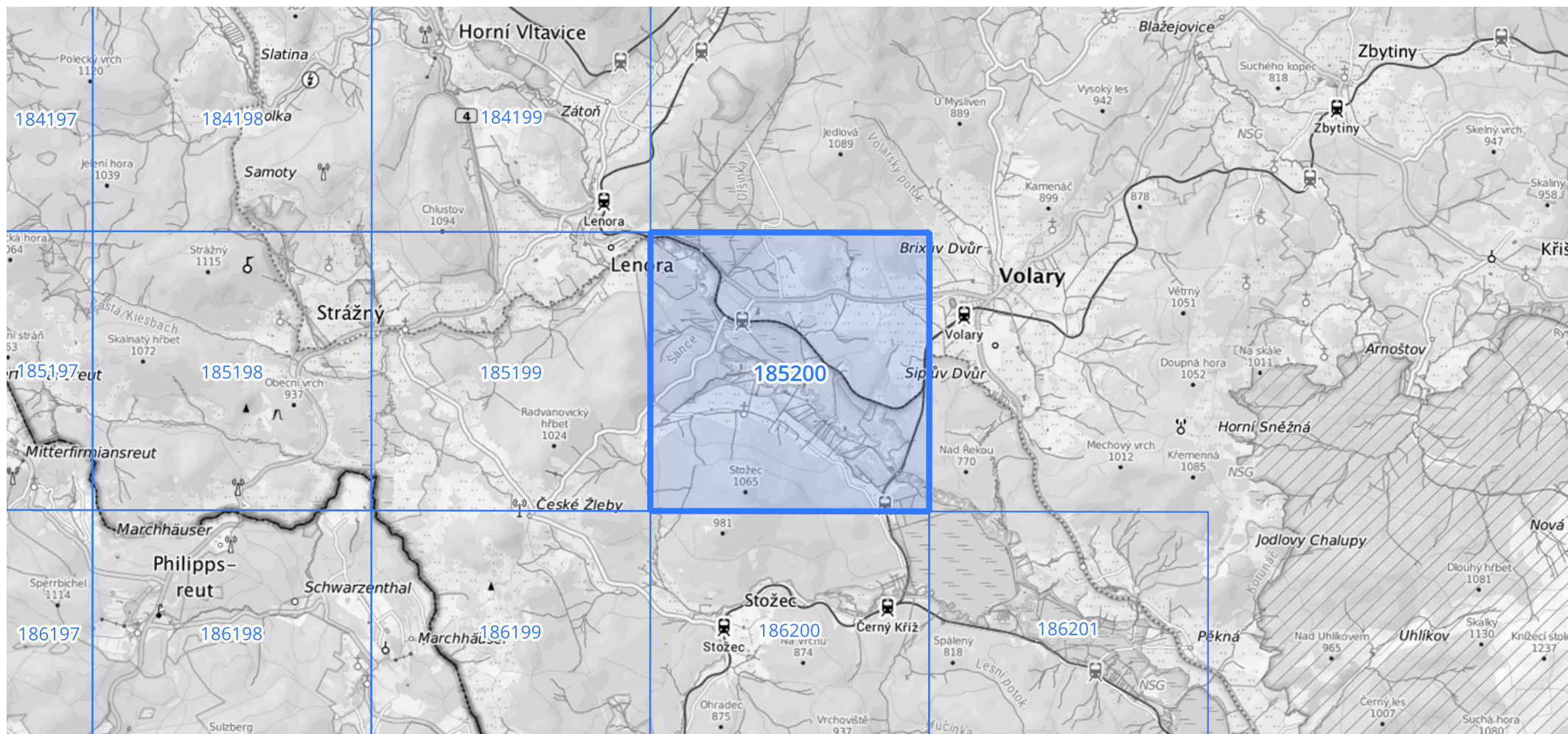
Siehe auch Anwendungshilfe zu KOSTRA-DWD-2020 des Deutschen Wetterdienstes.

Starkniederschlagshöhen und -spenden gemäß KOSTRA-DWD-2020

Rasterfeld 185200

(Zeile 185, Spalte 200)

Übersichtskarte des Rasterfeldes 185200, M 1 : 100 000



Quelle Rasterdaten: KOSTRA-DWD-2020 des Deutschen Wetterdienstes, Stand 12/2022.

Seite 3 von 3

Kartendarstellung: © Bundesamt für Kartographie und Geodäsie (2023), Datenquellen: https://sgx.geodatenzentrum.de/web_public/gdz/datenquellen/Datenquellen_TopPlusOpen.html

Für die Richtigkeit und Aktualität der Angaben wird keine Gewähr übernommen. Erstellt 01/2023.